Entrée et sortie: Système Offset Reflective ORS18a pour la teinte CIELAB relative $h_{ab,a,rel}$ = h_{ab}/360 = 306/360 = 0.85

H^*_d = B00R$_d$

Données de couleurs périphériques (d) ou élémentaires (e):

***HIC**$^*_d$*

code de teinte pour les couleurs de cette page:

***H**$^*_d$ = B00R$_d$*

triangle de luminosité *T**

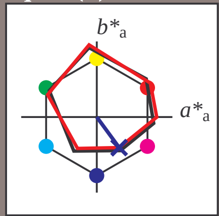

ORS20a; données CIELAB (a) adaptées nom	$L^*=L^*_a$	a^*_a	b^*_a	$C^*_{ab,a}$	$h^*_{ab,a}$
$R_{d,Ma}$	45.4	70.9	44.8	83.9	32
$Y_{d,Ma}$	87.8	−10.2	95.4	96.0	96
$G_{d,Ma}$	50.0	−65.0	29.6	71.4	155
$C_{d,Ma}$	56.8	−25.5	−41.5	48.7	238
$B_{d,Ma}$	25.0	29.5	−40.4	50.0	306
$M_{d,Ma}$	46.1	79.3	−0.2	79.3	359
$N_{d,Ma}$	24.3	0.0	0.0	0.0	0
$W_{d,Ma}$	95.6	0.0	0.0	0.0	0
$R_{d,CIE}$	39.9	58.7	27.9	65.0	25
$Y_{d,CIE}$	81.2	−2.8	71.5	71.6	92
$G_{d,CIE}$	52.2	−42.4	13.6	44.5	162
$B_{d,CIE}$	30.5	1.4	−46.4	46.4	271

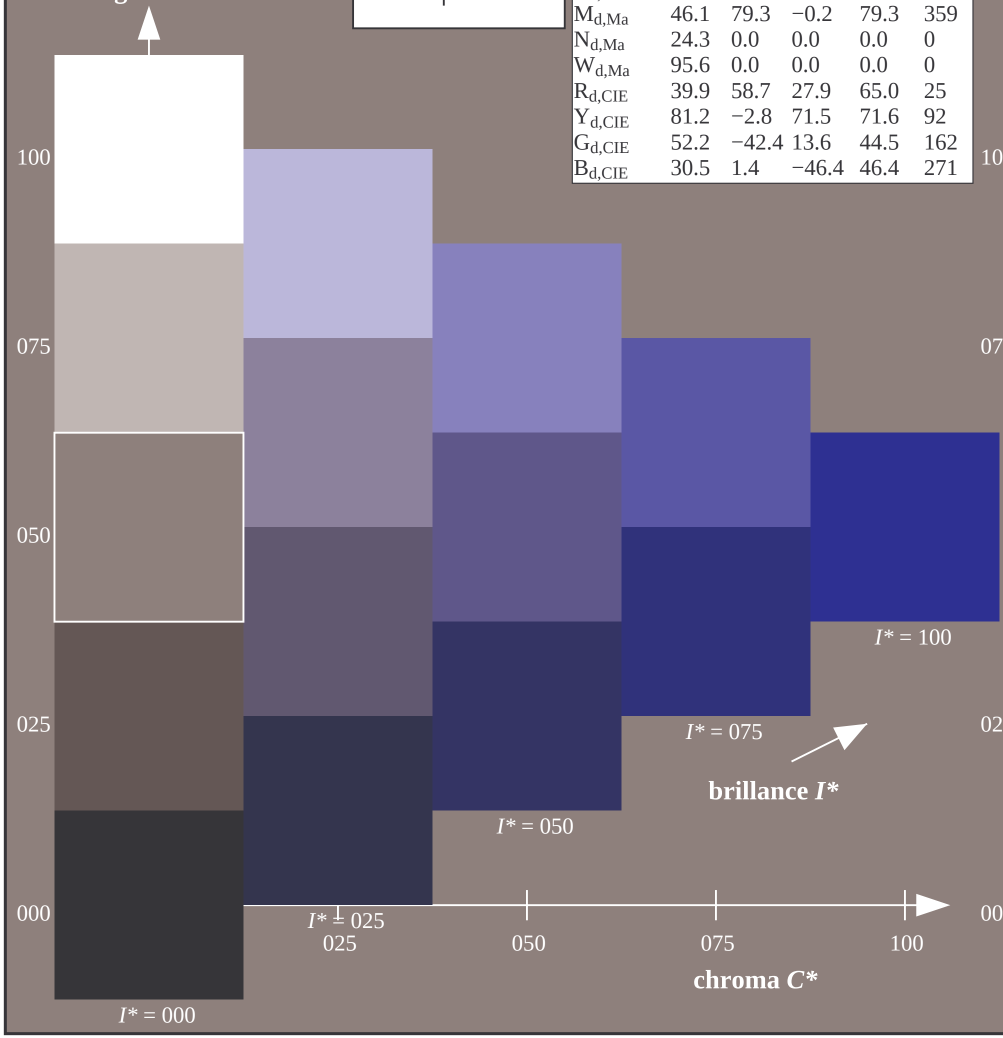

Les données de couleur maximale (Ma):

***LabCh**$^*_{d,Ma}$*: 25 29 −40 50 306

***HIC**$^*_{d,Ma}$*: B00R_100_100$_d$

***rgbic**$^*_{d,Ma}$*:

0.0 0.0 1.0 1.0 1.0

triangle de luminosité *T**

%Gamme

u^*_{rel} = 92

%Régularité

$g^*_{H,rel}$ = 57

$g^*_{C,rel}$ = 58

ORS20a; données CIELAB (a) adaptées H^*_d	$L^*=L^*_a$	a^*_a	b^*_a	$C^*_{ab,a}$	$h^*_{ab,a}$
R00Y_100_100$_d$	45.4	70.9	44.8	83.9	32
R25Y_100_100$_d$	53.0	53.4	54.8	76.5	45
R50Y_100_100$_d$	64.9	28.9	68.6	74.5	67
R75Y_100_100$_d$	78.6	4.3	84.7	84.8	87
Y00G_100_100$_d$	87.8	−10.2	95.4	96.0	96
Y25G_100_100$_d$	81.2	−17.0	84.3	86.0	101
Y50G_100_100$_d$	70.6	−29.7	66.5	72.8	114
Y75G_100_100$_d$	57.9	−48.3	45.8	66.5	136
G00B_100_100$_d$	50.0	−65.0	29.6	71.4	155
G25B_100_100$_d$	52.9	−48.6	−8.0	49.3	189
G50B_100_100$_d$	56.8	−25.5	−41.5	48.7	238
G75B_100_100$_d$	41.7	−1.2	−40.6	40.6	268
B00R_100_100$_d$	25.0	29.5	−40.4	50.0	306
B25R_100_100$_d$	35.6	58.6	−20.7	62.1	340
B50R_100_100$_d$	46.1	79.3	−0.2	79.3	359
B75R_100_100$_d$	45.9	74.2	21.1	77.1	15

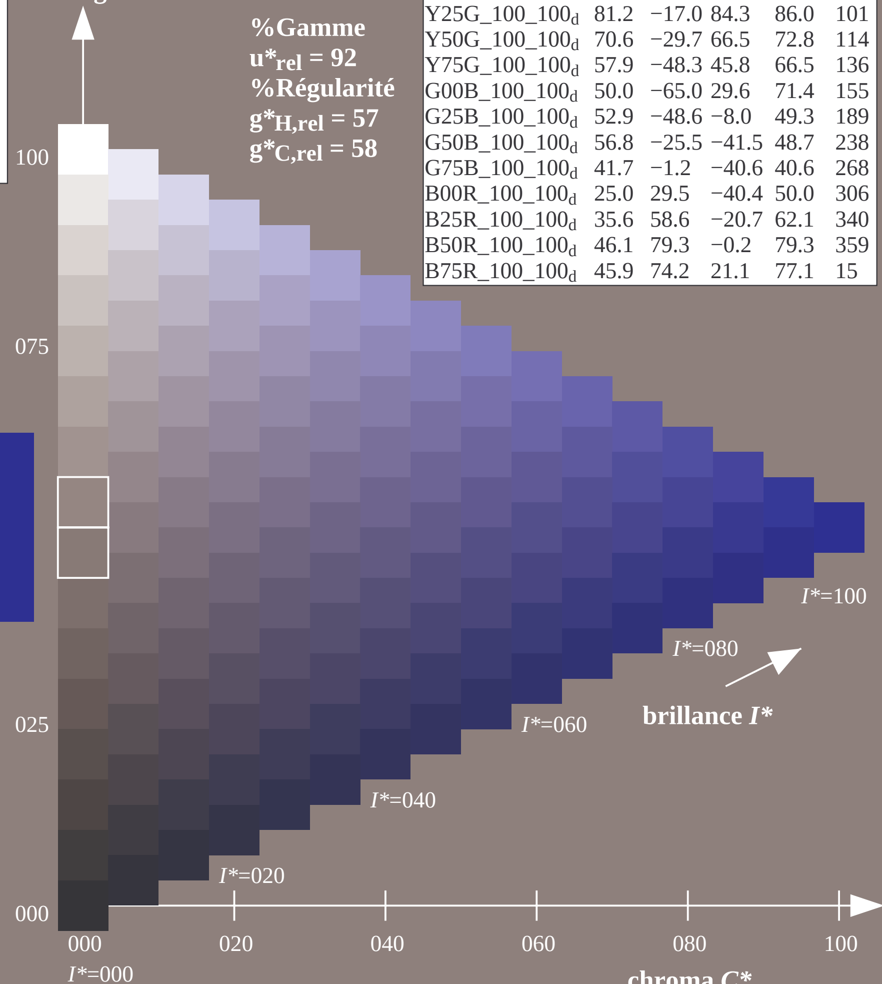

Entrée et sortie: Système Offset Reflective ORS18a pour la teinte CIELAB relative $h_{ab,a,rel}$ = $h_{ab}/360 = 271/360 = 0.75$

H^*_e = B00R$_e$

Données de couleurs périphériques (d) ou élémentaires (e):
HIC^*_e
code de teinte pour les couleurs de cette page:
H^*_e = B00R$_e$
triangle de luminosité T^*

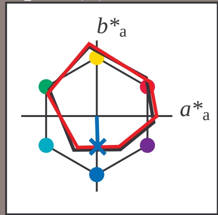

ORS20a; données CIELAB (a) adaptées					
nom	$L^*=L^*_a$	a^*_a	b^*_a	$C^*_{ab,a}$	$h^*_{ab,a}$
$R_{e,Ma}$	45.6	72.2	34.4	80.0	25
$Y_{e,Ma}$	83.6	−3.6	90.4	90.4	92
$G_{e,Ma}$	50.6	−62.1	19.9	65.2	162
$C_{e,Ma}$	55.0	−36.2	−27.2	45.3	216
$B_{e,Ma}$	40.2	1.2	−40.6	40.6	271
$M_{e,Ma}$	31.1	47.7	−29.1	55.9	328
$N_{e,Ma}$	24.3	0.0	0.0	0.0	0
$W_{e,Ma}$	95.6	0.0	0.0	0.0	0
$R_{e,CIE}$	39.9	58.7	27.9	65.0	25
$Y_{e,CIE}$	81.2	−2.8	71.5	71.6	92
$G_{e,CIE}$	52.2	−42.4	13.6	44.5	162
$B_{e,CIE}$	30.5	1.4	−46.4	46.4	271

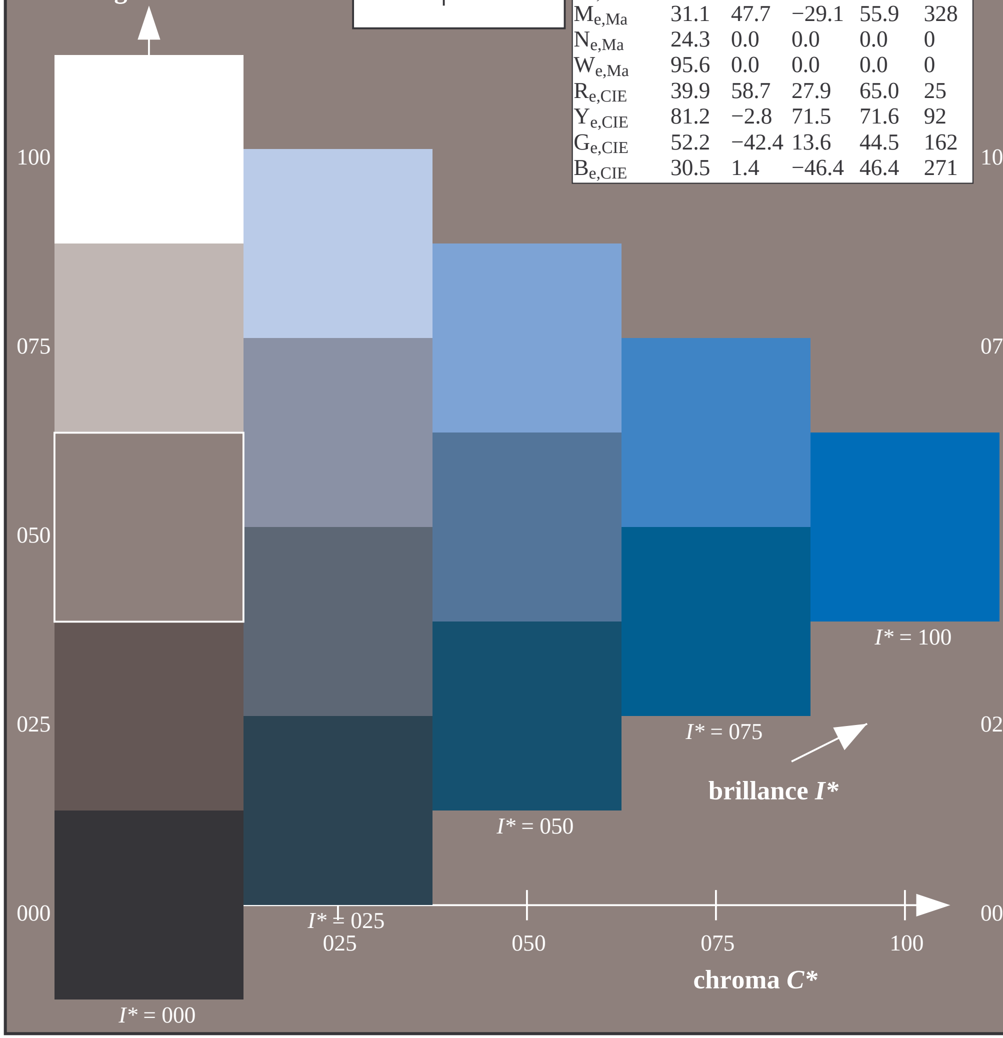

Les données de couleur maximale (Ma):
***$LabCh^*_{e,Ma}$*: 40 1 −40 40 271**
***$HIC^*_{e,Ma}$*: B00R_100_100$_e$**
***$rgbic^*_{e,Ma}$*:**
0.0 0.45 1.0 1.0 1.0
triangle de luminosité T^*

%Gamme
u^*_{rel} = 92
%Régularité
$g^*_{H,rel}$ = 57
$g^*_{C,rel}$ = 58

ORS20a; données CIELAB (a) adaptées					
H^*_e	$L^*=L^*_a$	a^*_a	b^*_a	$C^*_{ab,a}$	$h^*_{ab,a}$
R00Y_100_100$_e$	45.6	72.2	34.4	80.0	25
R25Y_100_100$_e$	50.5	59.2	51.6	78.6	41
R50Y_100_100$_e$	60.2	38.2	63.4	74.1	58
R75Y_100_100$_e$	70.9	17.9	75.9	77.9	76
Y00G_100_100$_e$	83.6	−3.6	90.4	90.4	92
Y25G_100_100$_e$	74.5	−25.0	74.3	78.4	108
Y50G_100_100$_e$	62.6	−40.9	53.8	67.6	127
Y75G_100_100$_e$	54.1	−55.5	37.5	67.0	145
G00B_100_100$_e$	50.6	−62.1	19.9	65.2	162
G25B_100_100$_e$	53.0	−48.6	−8.2	49.2	189
G50B_100_100$_e$	55.0	−36.2	−27.2	45.3	216
G75B_100_100$_e$	53.3	−19.8	−41.3	45.9	244
B00R_100_100$_e$	40.2	1.2	−40.6	40.6	271
B25R_100_100$_e$	28.1	23.4	−40.3	46.7	300
B50R_100_100$_e$	31.1	47.7	−29.1	55.9	328
B75R_100_100$_e$	41.4	70.4	−9.8	71.1	352

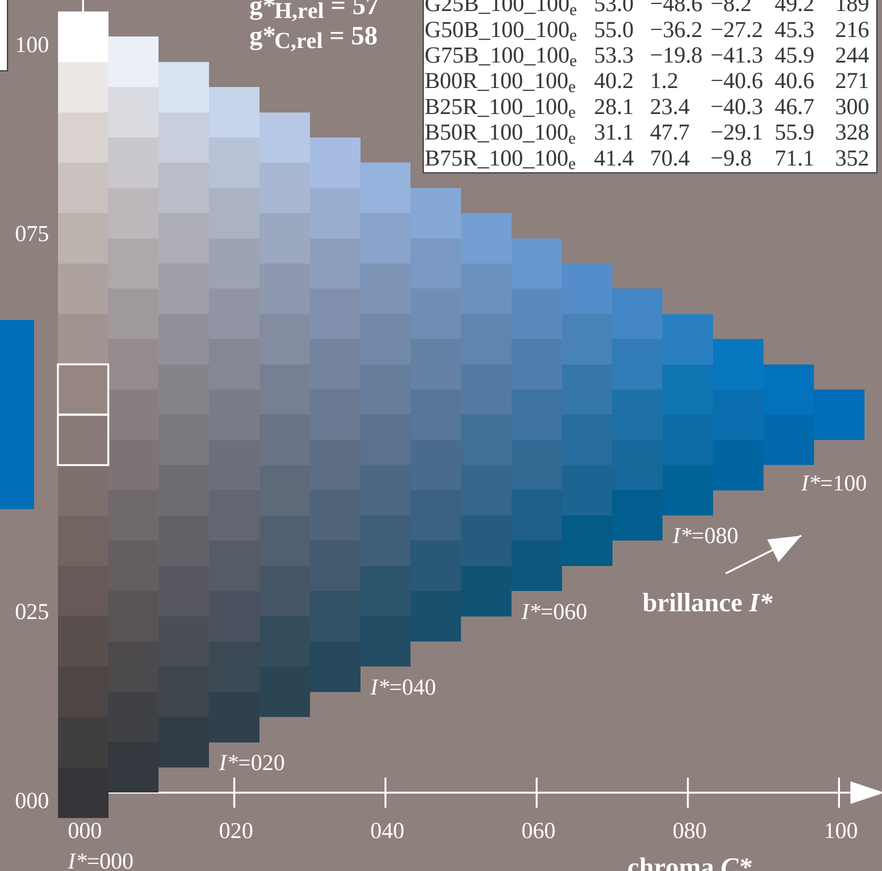

Entrée et sortie: Système Offset Reflective ORS18a pour la teinte CIELAB relative $h_{ab,a,rel}$ = h_{ab}/360 = 306/360 = 0.85 **H^*_d = B00R$_d$**

Données de couleurs périphériques (d) ou élémentaires (e):
HIC*$_d$
code de teinte pour les couleurs de cette page:
H^*_d = B00R$_d$
triangle de luminosité T^*

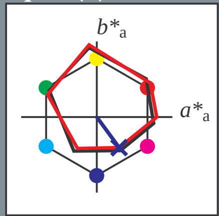

ORS20a; données CIELAB (a) adaptées					
nom	$L^*=L^*_a$	a^*_a	b^*_a	$C^*_{ab,a}$	$h^*_{ab,a}$
$R_{d,Ma}$	45.4	70.9	44.8	83.9	32
$Y_{d,Ma}$	87.8	−10.2	95.4	96.0	96
$G_{d,Ma}$	50.0	−65.0	29.6	71.4	155
$C_{d,Ma}$	56.8	−25.5	−41.5	48.7	238
$B_{d,Ma}$	25.0	29.5	−40.4	50.0	306
$M_{d,Ma}$	46.1	79.3	−0.2	79.3	359
$N_{d,Ma}$	24.3	0.0	0.0	0.0	0
$W_{d,Ma}$	95.6	0.0	0.0	0.0	0
$R_{d,CIE}$	39.9	58.7	27.9	65.0	25
$Y_{d,CIE}$	81.2	−2.8	71.5	71.6	92
$G_{d,CIE}$	52.2	−42.4	13.6	44.5	162
$B_{d,CIE}$	30.5	1.4	−46.4	46.4	271

Les données de couleur maximale (Ma):
***LabCh*$_{d,Ma}$: 25 29 −40 50 306**
***HIC*$_{d,Ma}$: B00R_100_100$_d$**
***rgbic*$_{d,Ma}$:**
0.0 0.0 1.0 1.0 1.0
triangle de luminosité T^*

%Gamme
u^*_{rel} = 92
%Régularité
$g^*_{H,rel}$ = 57
$g^*_{C,rel}$ = 58

ORS20a; données CIELAB (a) adaptées					
H^*_d	$L^*=L^*_a$	a^*_a	b^*_a	$C^*_{ab,a}$	$h^*_{ab,a}$
R00Y_100_100$_d$	45.4	70.9	44.8	83.9	32
R25Y_100_100$_d$	53.0	53.4	54.8	76.5	45
R50Y_100_100$_d$	64.9	28.9	68.6	74.5	67
R75Y_100_100$_d$	78.6	4.3	84.7	84.8	87
Y00G_100_100$_d$	87.8	−10.2	95.4	96.0	96
Y25G_100_100$_d$	81.2	−17.0	84.3	86.0	101
Y50G_100_100$_d$	70.6	−29.7	66.5	72.8	114
Y75G_100_100$_d$	57.9	−48.3	45.8	66.5	136
G00B_100_100$_d$	50.0	−65.0	29.6	71.4	155
G25B_100_100$_d$	52.9	−48.6	−8.0	49.3	189
G50B_100_100$_d$	56.8	−25.5	−41.5	48.7	238
G75B_100_100$_d$	41.7	−1.2	−40.6	40.6	268
B00R_100_100$_d$	25.0	29.5	−40.4	50.0	306
B25R_100_100$_d$	35.6	58.6	−20.7	62.1	340
B50R_100_100$_d$	46.1	79.3	−0.2	79.3	359
B75R_100_100$_d$	45.9	74.2	21.1	77.1	15

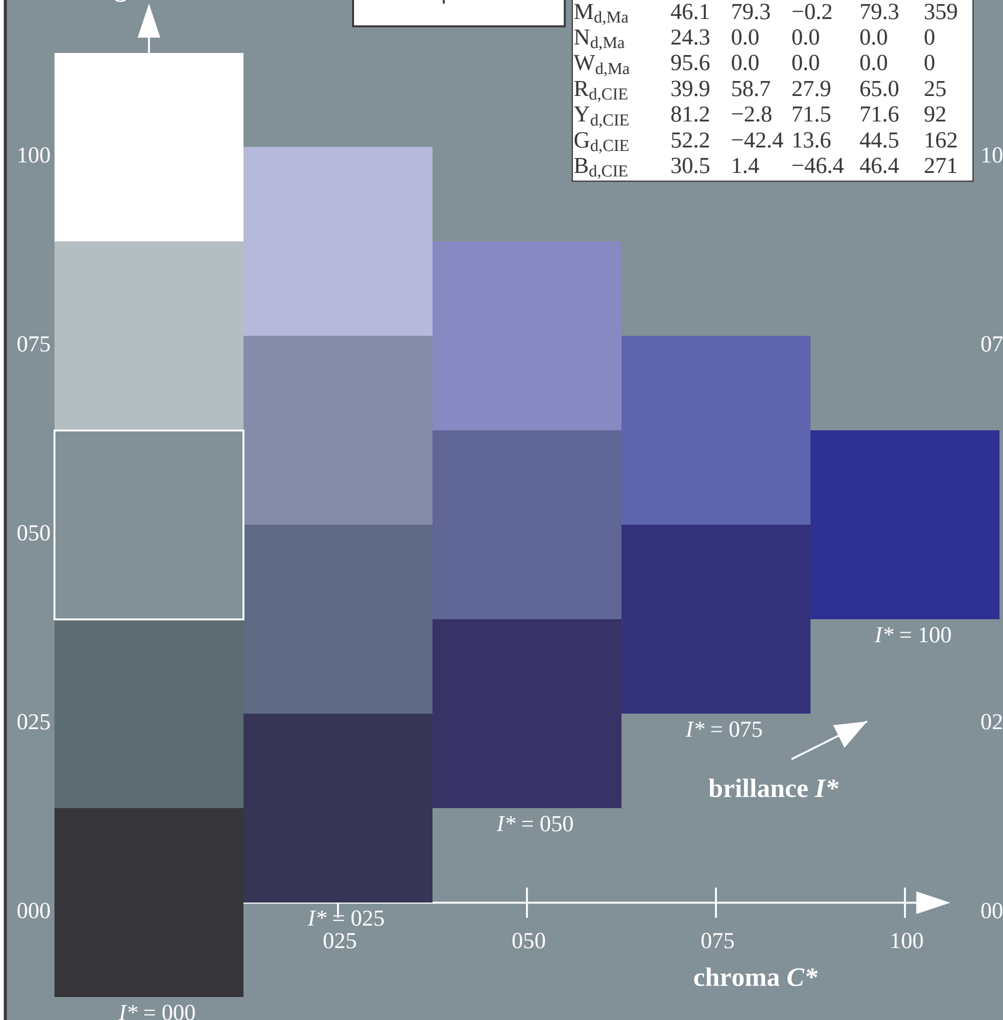

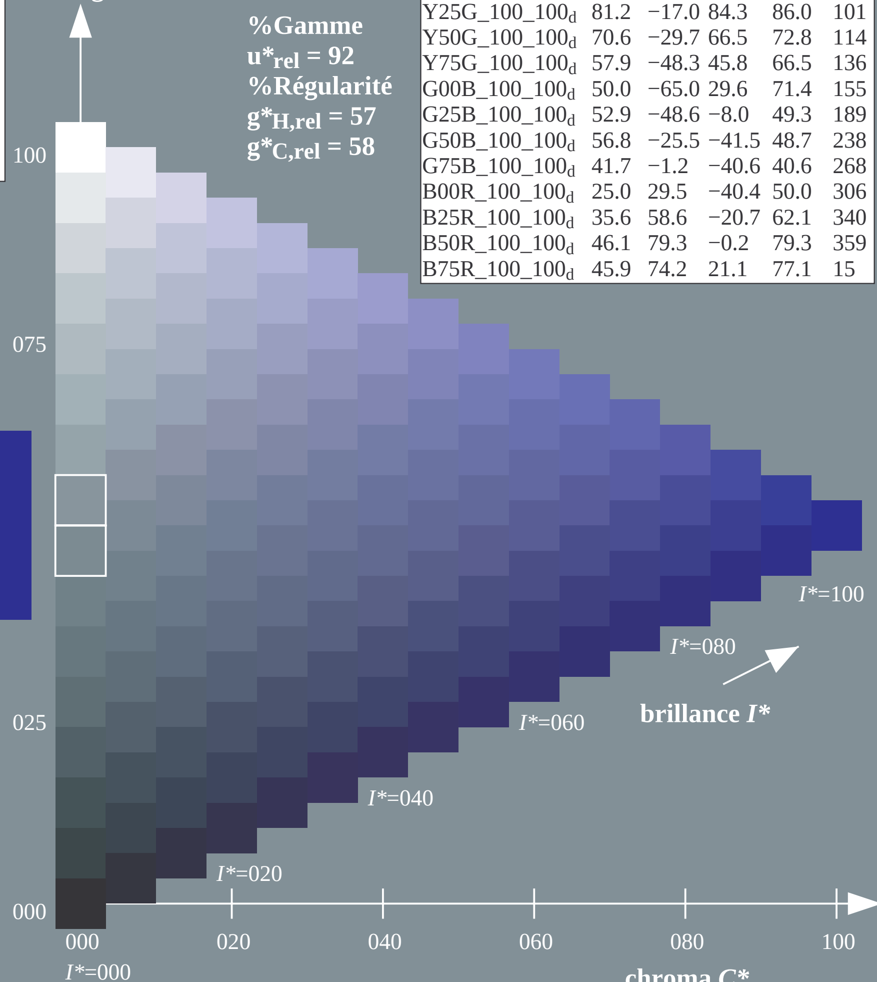

Entrée et sortie: Système Offset Reflective ORS18a pour la teinte CIELAB relative $h_{ab,a,rel}$ = h_{ab}/360 = 271/360 = 0.75

H^*_e = B00R$_e$

Données de couleurs périphériques (d) ou élémentaires (e):
***HIC**$^*_e$*
code de teinte pour les couleurs de cette page:
***H^*_e* = B00R$_e$**
triangle de luminosité *T**

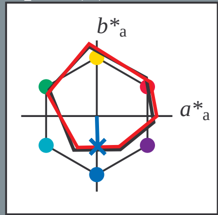

ORS20a; données CIELAB (a) adaptées					
nom	$L^*=L^*_a$	a^*_a	b^*_a	$C^*_{ab,a}$	$h^*_{ab,a}$
$R_{e,Ma}$	45.6	72.2	34.4	80.0	25
$Y_{e,Ma}$	83.6	−3.6	90.4	90.4	92
$G_{e,Ma}$	50.6	−62.1	19.9	65.2	162
$C_{e,Ma}$	55.0	−36.2	−27.2	45.3	216
$B_{e,Ma}$	40.2	1.2	−40.6	40.6	271
$M_{e,Ma}$	31.1	47.7	−29.1	55.9	328
$N_{e,Ma}$	24.3	0.0	0.0	0.0	0
$W_{e,Ma}$	95.6	0.0	0.0	0.0	0
$R_{e,CIE}$	39.9	58.7	27.9	65.0	25
$Y_{e,CIE}$	81.2	−2.8	71.5	71.6	92
$G_{e,CIE}$	52.2	−42.4	13.6	44.5	162
$B_{e,CIE}$	30.5	1.4	−46.4	46.4	271

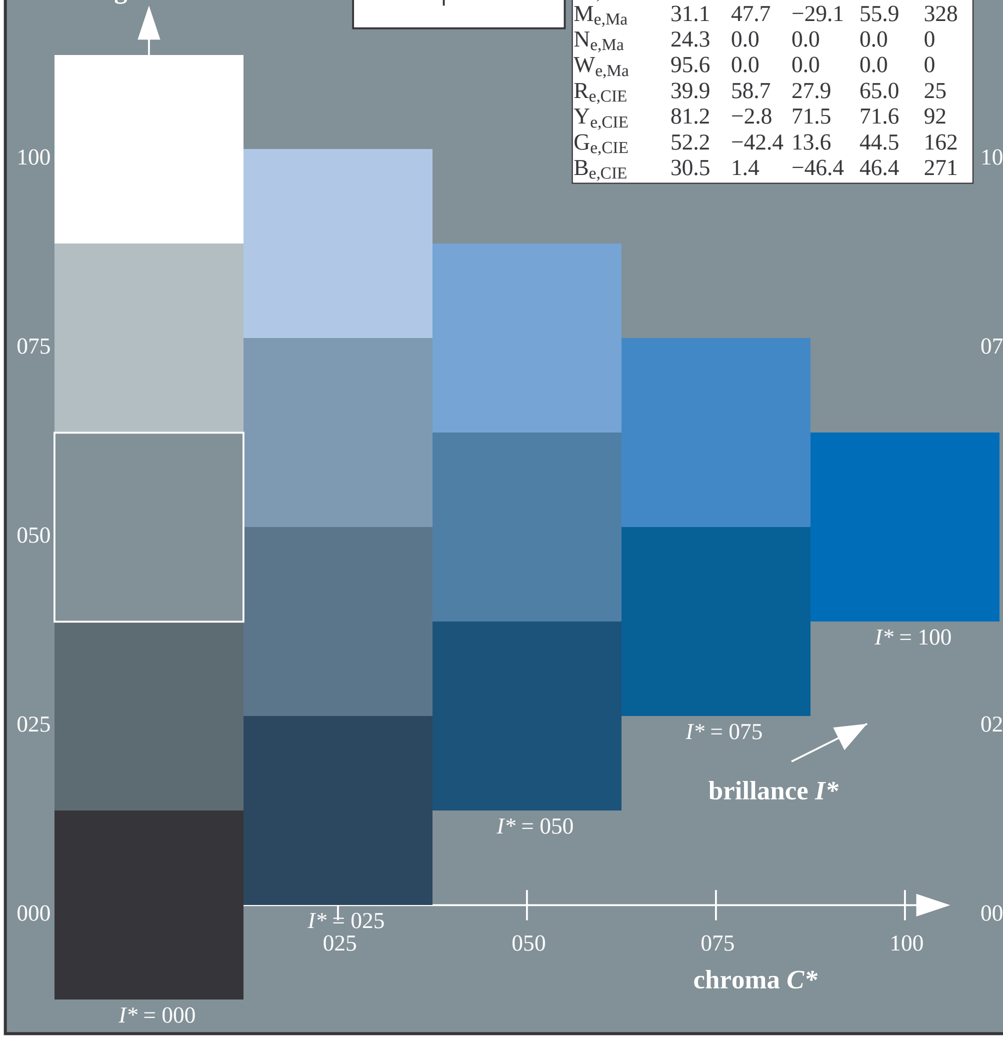

Les données de couleur maximale (Ma):
LabCh**$^*_{e,Ma}$: 40 1 −40 40 271**
HIC**$^*_{e,Ma}$: B00R_100_100$_e$**
rgbic**$^*_{e,Ma}$:**
0.0 0.45 1.0 1.0 1.0
triangle de luminosité *T**

%Gamme
u^*_{rel} = 92
%Régularité
$g^*_{H,rel}$ = 57
$g^*_{C,rel}$ = 58

ORS20a; données CIELAB (a) adaptées					
H^*_e	$L^*=L^*_a$	a^*_a	b^*_a	$C^*_{ab,a}$	$h^*_{ab,a}$
R00Y_100_100$_e$	45.6	72.2	34.4	80.0	25
R25Y_100_100$_e$	50.5	59.2	51.6	78.6	41
R50Y_100_100$_e$	60.2	38.2	63.4	74.1	58
R75Y_100_100$_e$	70.9	17.9	75.9	77.9	76
Y00G_100_100$_e$	83.6	−3.6	90.4	90.4	92
Y25G_100_100$_e$	74.5	−25.0	74.3	78.4	108
Y50G_100_100$_e$	62.6	−40.9	53.8	67.6	127
Y75G_100_100$_e$	54.1	−55.5	37.5	67.0	145
G00B_100_100$_e$	50.6	−62.1	19.9	65.2	162
G25B_100_100$_e$	53.0	−48.6	−8.2	49.2	189
G50B_100_100$_e$	55.0	−36.2	−27.2	45.3	216
G75B_100_100$_e$	53.3	−19.8	−41.3	45.9	244
B00R_100_100$_e$	40.2	1.2	−40.6	40.6	271
B25R_100_100$_e$	28.1	23.4	−40.3	46.7	300
B50R_100_100$_e$	31.1	47.7	−29.1	55.9	328
B75R_100_100$_e$	41.4	70.4	−9.8	71.1	352